

Fig. 1. Change of C, O during carburization period in case of crucible A and crucible B.

一般の MgO ルツボを時々補修(粘結剤は水ガラス)して 1650°C でボイルした場合の侵入 Si が、脱酸末期で 0.01~0.04% であつたことは前報<sup>1)</sup>に報告した。また同じルツボにおける侵入 Al については前報<sup>1)</sup>に引きづき分析したがいずれも 0.004% 以下で問題にならなかつた。

しかし前報<sup>1)</sup>においては、とくに Si, Al の侵入に注意をはらつたわけではなかつたので、その侵入経路には不明の点が多かつた。そこで今回はルツボの初溶解より注意した結果、SiO<sub>2</sub>, Al<sub>2</sub>O<sub>3</sub> とともに 0.05% 以下という今回の MgO ルツボ(低 SiO<sub>2</sub>)でも、ルツボの使用回数 1~5 回までの C 脱酸においては、Si, Al ともに 0.01% 程度の侵入の恐れがあることがわかつた。

その後このルツボを繰り返し使用して、C 脱酸試験を行なつたが、もはや Si, Al ともに侵入が認められなくなつた。これはおそらくはルツボ内面の溶鋼と接触する部分の SiO<sub>2</sub>, Al<sub>2</sub>O<sub>3</sub> が脱酸用の C により還元しつくされたと考えるべきであろう。またこの傾向は一般的の MgO ルツボについても同様であろうと考えられるので、前報<sup>1)</sup>の侵入 Si は炉修用の粘結剤として使用した水ガラスに帰因する可能性が多分にある。

以上の点より今回の試験においては、MgO ルツボ(低 SiO<sub>2</sub>)を使用したほか、炉修用の粘結剤には苦汁を使用して、Table 4 に示すように Si の侵入をほとんどおさえることができた。

補修用の MgO にも低 SiO<sub>2</sub> のものを使用すればさらに 0.001% 程度の純度の向上は可能かも知れない。また若干の O 増加を許すならば C を 0.001% におさえることも可能であろう。

#### 4. 結 言

MgO ルツボ(低 SiO<sub>2</sub>)を使用した 20 kg 溶解による C 脱酸試験の結果、O-0.003%, C-0.003%, Si-0.003%

%, Al-<0.004% 程度の純鐵を安定して溶製しうる見通しを得た。

(1) C 脱酸中のボイルは C, O 量のみならず気孔率その他のルツボの諸条件に影響される。今回の試験において使用した MgO ルツボ(低 SiO<sub>2</sub>)においては、前報の場合と異なり、1650°C の脱酸処理ではボイルしなかつた。しかし脱酸、脱炭ともに十分進行したので、ボイルが必ずしも脱酸に不可欠な条件ではないと考えられる。

(2) 添加 C 量については、0.10% で十分でありこれより多くても少くとも不都合であった。またこれを前報<sup>1)</sup>のボイルのあつた場合の 0.13% と比較すると、ボイルのあつたほうがむしろルツボ材の無駄な還元に C を多く消費していることを示すものと考えられる。

(3) 今回の試験に使用した MgO ルツボ(低 SiO<sub>2</sub>)の場合、脱炭期における脱炭がきわめてゆるやかに進行したので、前報<sup>1)</sup>に比較して脱炭時間が若干延長された。しかしこの間の O 増加が僅少であったので、かえつて純度、作業性の両面から好都合であった。これはおそらくはルツボ材 MgO の分解がきわめてゆるやかであつたためと考えられる。

(4) MgO ルツボ(低 SiO<sub>2</sub>)を使用し、また炉修用の粘結剤として苦汁を使用して、さらにあらかじめルツボの内面の SiO<sub>2</sub>, Al<sub>2</sub>O<sub>3</sub> を十分還元洗滌することにより、Si, Al の侵入をほとんどおさえることができた。

(5) C 添加時(溶落時)の O 量を均一にすることはできれば、これに見合つた量の C を常に添加することができる。ところが電解鉄の O にはかなりの変動があり、われわれの試験結果によると溶落時で 0.03~0.12% におよんだ。この解決のための一方法として、電解鉄をはじめ 100 kg 真空溶解用の炉体を使用し、溶解混合して O 量の均一なインゴットをつくり、これをルツボの径にあわせて丸棒に鍛造、皮むきをして 20 kg に切断したメリング、ストックをつくり、これを再溶解するという方法を検討中である。

#### 文 献

- 1) 中村, 田知本, 栗山, 恒久, 福井: 鉄と鋼, 52 (1966) 3, p. 401

#### (140) エレクトロスラグ溶解法による アルミ鉄合金の製造

理研ピストンリング 真殿 統  
理研ピストンリング研究所

虎石龍雄・鈴木賢造・○脇 僕・吉川 甫  
Making of Al-Fe Alloys by an Electroslag Melting Process.

Osamu MADONO, Tatuo TORAISHI, Kenzo SUZUKI,  
Osamu WAKI and Hazime KIKKAWA.

#### 1. 緒 言

エレクトロスラグ溶解法は脱硫、非金属介在物の減少など、すぐれた品質の鋼を得る方法として最近とくに注目を集めているが、当研究所においてはすでにほぼ 10 年

Table 1. The melting conditions.

No.	Charge elements (%) Al Si	Cross section of ingot (mm)	Cross section of electrode (mm)	Electrical conditon V×kA	Ingot weight (kg)	Melting time (hr)	Unit power (kWh/kg)	Rising rate of ingot (mm/min)
1	2.4—1.0	100×200	40×100	40×6.0	308	1.57	1.54	23.9
2	2.4—1.0	180×850	65×300	40×14.0	4470	10.57	1.66	6.0
3	2.75—0.92	360×750	100×230	40×14.0	3700	12.90	2.28	2.5

Table 2. Chemical analysis of the ingots.

No.	C	Mn	P	S	Si	Al	N	SiO <sub>2</sub>	Al <sub>2</sub> O <sub>3</sub>	MnO	FeO	ΣO
1	0.005	0.25	0.013	0.006	1.03	2.07	0.0031	0.0036	0.0226	nil	0.0059	0.0134
2	0.004	0.24	0.014	0.002	0.97	1.96	0.0015	0.0015	0.0112	nil	0.0051	0.0075
3	0.004	0.27	0.014	0.002	0.95	2.34	0.0009	0.0018	0.0094	nil	0.0024	0.0057

以前より独自に開発研究を続け現在では鋼塊断面 350 mm × 800 mm の鋼塊製造を可能にしている。

著者らはエレクトロスラグ溶解法をもじいてアルミ鉄合金による電磁鐵板、耐熱鋼などの研究をおこなってきた。電磁鐵板の磁性を向上させるには不純物の除去をとくに必要とするがエレクトロスラグ溶解法によつて得られた結果はみるべきものがあるので、ここにその内容の一部を報告する。

## 2. 溶解法

通常のエレクトロスラグ溶解法は、あらかじめ1次溶解して造られた合金を電極として再溶解する方式であるが、著者らは極低炭素鋼より電極を作り溶解時に Al その他の合金成分を添加する方法を用いてきた。

溶解装置は最大出力 600 kVA の直流電源を用い、電極を負、ルツボを正として電極への通電は銅製のロールを用いておこなつてある。この方式においては電極への通電を良くするため電極側面をできるだけ平滑にする必要があるが、反面電極先端をクランプして通電する方式と異なり大容量の鋼塊溶製の場合には溶解中に一定長さの電極を次々に継装できる利点をもち、電極支持装置も簡単である。ルツボはスラブ状または矩型状断面の大容量鋼塊の場合、4 側面を簡単に分離できる組合せ方式となつており、冷却は銅板側面に対して冷水を噴射するスプレー方式である。

## 3. 溶解結果

Table 1 はエレクトロスラグ溶解により Al および Si を含んだ鉄合金を溶解せる結果の一例である。Table 2 はその化学分析の結果である。溶剤は CaF<sub>2</sub>-Al<sub>2</sub>O<sub>3</sub> 系スラグを用い、CaF<sub>2</sub> 90~80%，Al<sub>2</sub>O<sub>3</sub> 10%~20% の組成である。

鋼塊铸肌は手入をせず直接熱間圧延に供することができる。なお鋼塊形状がスラブ状の場合は分塊圧延が省略される。Photo. 1 は断面サイズ 180 mm × 850 mm 鋼塊の縦断面のマクロ組織であり、完全な柱状晶を呈している柱状晶の傾きは鋼浴深さと対応しており 100 mm × 200 mm 断面の鋼塊を用いて溶解中に FeS を投じサルファープリントにより鋼浴の形状と柱状晶の角度との関係を調べた結果、鋼浴の深さは柱状晶の傾きから推測できる。

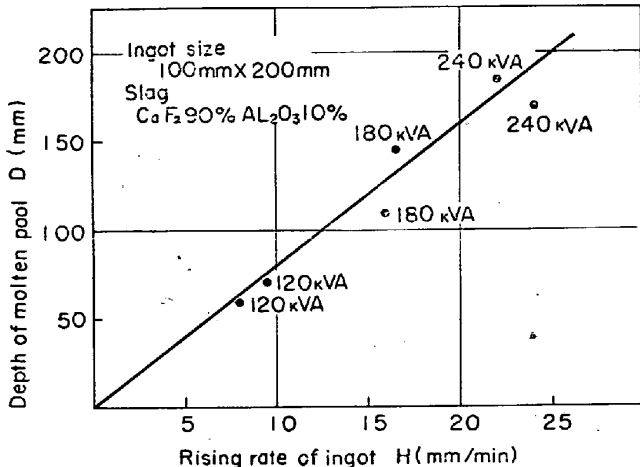


Fig. 1. Relationship between depth of molten pool and rising rate of ingot (1).

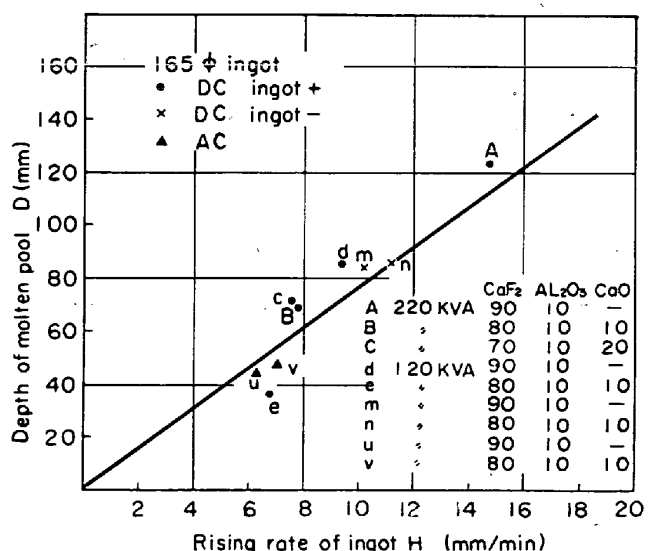


Fig. 2. Relationship between depth of molten pool and rising rate of ingot (2).



Photo. 1. Macrostructure of 180mm × 850mm ingot. ( $\times 1/4$ )

Table 3. Cross section of ingots and corresponding D/H.

Cross section of ingots (mm)	D/H (min)
100×100	3
165φ	7·6
100×200	7·9
150×400	13·5
150×750	24
290×290	30
180×850	40
300×600	62

銅浴の深さおよび銅塊生成速度(湯面上昇速度)は電気条件、銅塊断面、スラグ組成の溶解条件によって左右される。Fig. 1は投入電力を変化させた場合の湯面上昇速度と銅浴の深さとの関係を示したものであり、投入電力が増大すると湯面上昇速度の増大に比例し銅浴深さが増大し両者の関係はほぼ直線的関係になる。Fig. 2はスラグ組成、電気条件を変えた場合の湯面上昇速度と銅浴深さとの関係を示したものである。この場合にもやはり両者の関係はほぼ直線的関係になる。すなわち湯面上昇速度に対する銅浴深さの比はいからる場合も同一銅塊サイズにおいてはほぼ一定であると云える。

銅浴深さD(mm)に対する湯面上昇速度H(mm/min)の比D/H(min)を、かりに銅浴凝固時間として表わすと、この値は電気条件、スラグ組成に関係なくほぼ銅塊断面サイズにより一義的に定まる。

各種断面サイズの銅塊を切断し柱状晶の傾きから銅浴深さを推測し、D/Hの値を求めるとき、Table 3に示すごとくになる。

#### 4. 銅塊の化学分析

Alは酸化減耗があるので目標成分に対してはこの分だけ余分に配合する必要がある。SiはAlが合金成分として加わっている場合にはほとんど減耗はない。合金成分の偏析は銅塊の長さ方向、および横断面内で特定の傾向はみられない。Alはほぼ±1%以内、Siはほぼ±0·05%以内でランダムにばらついている。SiO<sub>2</sub>を含有しているスラグを用いた場合にはインゴット底部においてSiが増大し、Alが減少する傾向があるが、SiO<sub>2</sub>の少ないスラグを用いれば改善される。

アルミ鉄合金におけるエレクトロスラグ溶解の精錬効果はΣO、SおよびNを低減させる。酸化物などの非金

Table 4. Relationship between melting conditions and oxide inclusions.

Cross sections of ingots (mm)	Electrical conditions (V) (A)	Rising rate of ingot H (mm/min)	Depth of molten pool D (mm)	D/H (min)	Oxide inclusions				
					Al <sub>2</sub> O <sub>3</sub> (%)	SiO <sub>2</sub> (%)	FeO (%)	ΣO (%)	
165φ	40	5500	14·7	130	8·7	0·0242	0·0014	0·0013	0·0124
	40	3000	6·3	45	7·1	0·0287	0·0017	0·0012	0·0147
	40	3000	7·9	63	8·0	0·0242	0·0010	0·0032	0·0120
	50	3600	16·0	95	5·9	0·0223	0·0009	0·0041	0·0117
100×100	40	6000	21·9	183	8·4	0·0237	0·0020	0·0025	0·0125
	40	4500	16·4	154	9·4	0·0209	0·0006	0·0023	0·0107
	40	14000	5·7	230	40·3	0·0117	0·0007	0·0038	0·0066
180×850	40	10000	2·3	140	60·9	0·0099	0·0015	0·0010	0·0056

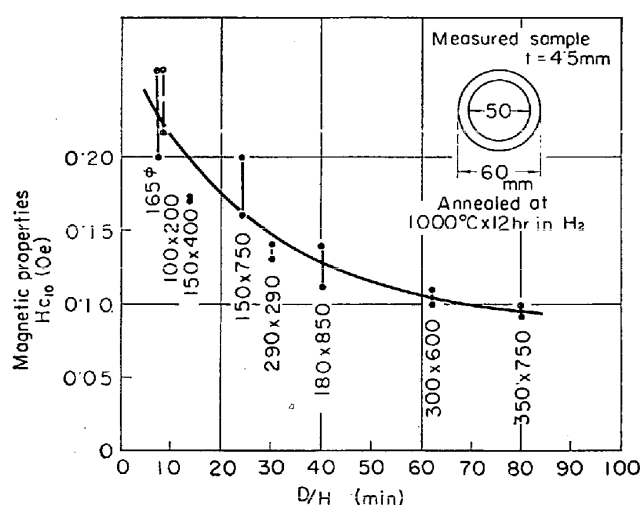


Fig. 3. Relationship between magnetic properties and D/H.

介在物は鋼浴の深さと関連性があり、鋼浴が深いほど残留量が増えるという報告<sup>1)</sup>もある。しかし著者らの実験では Table 4 に示すごとく鋼浴の深さと介在物の残留量との直接的な関連性を認めることができない。むしろΣOは鋼浴深さDに対する湯面上昇速度Hの比D/Hによって変化しこの値の大なるほど少なくなる傾向がある。

脱硫は合金成分であるAlの増大によって促進される。脱硫はスラグ中のCaOを増大すると促進されるという報告<sup>2,3)</sup>もあるが、アルミ鉄合金においてはCaO添加スラグとそうでないものとの差はみられなかつた。

アルミ鉄合金の溶解においてはTable 2に示すごとくNの減少が認められる。特に鋼塊サイズの大なる場合に著しく減少する。

### 5. 磁気的性質

このようにエレクトロスラグ溶解においてはD/Hの値を大きくすることにより、ΣO、S、およびNの値を著しく減少させることができ、これら非金属介在物の減少により磁気的性質が改善される。Fig. 3に各種断面サイズの鋼塊を熱間圧延して磁性を測定した結果を示す。これによるとD/Hの増大にしたがつて磁性が改善される結果が認められる。

### 6. 結 言

エレクトロスラグ溶解によりAlを含む鉄合金を各種断面サイズについて溶解した結果は

(1) 鋼浴深さDに対する湯面上昇速度Hの比D/Hは電気条件、スラグ組成に関係なくほぼ鋼塊サイズにより一義的に定まる。

(2) D/Hの値を大にすることによりΣO、Nを著しく減少させることができる。

(3) Alの添加によりSの含有量は著しく減少する。

### 文 献

- 1) A. F. TREGUBENKO and S. A. LEIBENZON: エレクトロスラグ再溶解法, (昭39-5) 日ソ通信社
- 2) A. C. WILLIAMS: J. Iron & Steel Inst. (U. K.), (1964) p. 581
- 3) 一安, 石川, 中村: 鉄と鋼, 51 (1965), p. 1940

### (147) リムド鋼塊の偏析パターンについて

(大型リムド鋼塊の偏析に関する研究—I)  
富士製鉄、広畠製鉄所

浅野 鋼一・○大橋 徹郎  
On the Segregation Pattern of Rimming Steel Ingots.  
(Study on segregation of large rimming steel ingot—I)

Koichi ASANO and Tetsuro OHASHI.

### 1. 緒 言

リムド鋼塊は高い分塊歩止りと清浄な表面を有するために冷延鋼板に広く用いられている。しかしながら、リムド鋼特有の濃厚偏析による成品の材質劣化、および管状気泡、表面気泡による表面疵の増加はリムド鋼塊製造上きわめて大きな問題となつてゐるところに前者については古くから多数の研究があるがいまだに不確かな点が多いそこで筆者らはリムド鋼塊の偏析におよぼす諸因子、たとえば鋳型形状、蓋置き時間、取鍋成分などの影響を調査し從来の諸結果と比較対照することにより、偏析に関する2,3の知見を得た。

本報では、まず鋳型形状が変った場合の代表的な偏析パターンについて調査し、偏析パターンがどのような変化をするかを示した。

### 2. 実験方法

転炉溶製リムド鋼を種々の形状の鋳型に注入して試験鋼塊を作成し、その1/2縦断面にて[S]のチェック分析をおこない偏析パターンを調査した。

試験リムド鋼塊の取鍋分析値および造塊条件をTable 1に示す。使用した鋳型は7種類でその代表諸元をTable 1に示す。

Table 1. Chemical composition and other conditions.

Tap temperature (°C)	1580~1620
Ladle analysis (%)	C 0.08~0.10 Mn 0.30~0.40 S 0.15~0.20
Mold addition of Al(g/t)	20~100
Capping time (min)	15~30
Holding time (min)	200~300

Table 2. Mold dimensions and ingot weight.

Mold	Width (mm)	Thickness (mm)	Height (mm)	Ingot weight (t)
I	1030	875	2250	13.0
II	1200	880	2200	15.0
III	1430	880	2200	17.0
IV	1680	770	2200	18.0
V	1860	850	2200	22.0
VI	1032	780	2700	13.2
VII	1032	780	2300	11.8